

IV-104 統計的決定の論理による地点感応制御について

神戸大 正員 枝村 俊郎 山口県土木部 正員 ○ 松原 賢一
神戸大院 学生員 土井 和夫

1. はじめに

現在の地点感応制御は、単に交差点の進入路の刻ごとの交通パラメータ（車頭間隔、密度、オキュバンシーなど）にもとづき、青時間の延長を行っている。しかし、地点感応制御は、単位延長青ごとに、さらに延長すべきか、打切るべきかと、統計的に変動するパラメータを観測しつつ判断する手法であることを考えると、統計的決定理論の導入があるいは効果的ではないかと考えられる。すなわち、一定の時間間隔に到着する自動車の台数を観測し、それを用いて“自然の状態”（いまの場合、真の平均到着率）に対応する先驗確率を、つぎつぎに新しい事後確率に変換していく。事後確率が計算されたならば、それを重みとして期待損失の加重平均を求め、これを最小にする行動（単位青の延長、あるいは打切り）を決定する。ここでは、十字交差点を考え、アプローチ番号を図-1のようにとっておく。

2. 事後確率の計算式

いま、アプローチ1,3が進入権をもち、アプローチ1の赤時間 t_1^r 中に Z_1^r 台、赤に従く初期青 t_1^g 中に Z_1^g 台の車が到着したとする。このアプローチ1の真の平均到着率を v_1 とする。先驗確率 $b_1(v_1 | Z_1^r, t_1^r)$ をガンマ分布で与え、平均到着率に対する到着台数をボアソン分布 $f(Z_1^r | v_1, t_1^r)$ で与える。そのとき、ベイズの定理より、事後確率 $W_1(v_1 | Z_1^r, t_1^r)$ は、

$$W_1(v_1 | Z_1^r, t_1^r) = \frac{b_1(v_1 | Z_1^r, t_1^r) f(Z_1^r | v_1, t_1^r)}{\int_0^\infty b_1(v_1 | Z_1^r, t_1^r) f(Z_1^r | v_1, t_1^r) dv_1} = \frac{(v_1 t_1^r)^{Z_1^r-1} e^{-v_1 t_1^r} t_1^r}{(Z_1^r - 1)!}$$

(ただし $t' = t_1^r + t_1^g$, $Z_1' = Z_1^r + Z_1^g$)となり、ガンマ分布となる。さらに青時間を t 延長し、 λ の前の観測台数が Z 台であったとするとき事後確率は、

$$W_1(v_1 | Z_1', t') = \frac{W_1(v_1 | Z_1^r, t') f(Z_1' | v_1, t')}{\int_0^\infty W_1(v_1 | Z_1^r, t') f(Z_1' | v_1, t') dv_1} = \frac{(v_1 t')^{Z_1'-1} e^{-v_1 t'} t'}{(Z_1' - 1)!}$$

(ただし $t'' = t' + t$, $Z_1'' = Z_1' + Z_1$)となる。以下同様、つねにガンマ分布となる。

3. 遅れの期待値の加重平均

いま、つぎのように記号をとる。行動 a_1 =青を打切り、行動 a_2 =青をさらに単位延長青 t 延長。 $W_j^k(v_j, a_k)$ =真の平均到着率が v_j のとき、行動 a_k をとったときのアプローチ j の遅れ。ここに、 $j=1$ はアプローチ j が進入権をもつとき、 $j=2$ はアプローチ j が進入権をもたないとき。アプローチ番号 $j=1, \dots, 4$ 、行動番号 $k=1$ or 2。

観測値は離散的でかつ充足性を有し、真の平均到着率に従って無限個の分布をもち、また決定は有限個であるので、遅れの期待値の加重平均 $B_j(W_j, a_k)$ は、

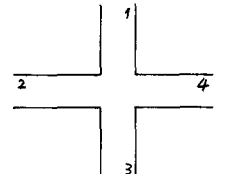


図-1 アプローチ番号

$$B_i(W_i, a_k) = \frac{1}{f(z)} \int_0^\infty b_i(v_i | z_i, t_i) f(z_i | v_i, t_i) W_i^i(v_i, a_k) dv_i$$

$$= \int_0^\infty w_i(v_i | z_i, t_i) W_i^i(v_i, a_k) dv_i$$

と書ける。

遅れの計算には、1周期分のみを考えることにする。この場合の周期は、進入権をもつアプローチについては、現在現示している青時間と次に現示する赤時間の和にとる。青の次に現示する赤時間の与え方は、①現在現示している青の前に現示した赤時間と、全損失時間の和とする場合と、②交通量に応じて比例配分する場合の2通りを考えてみた。

4. 行動決定

- i) $\sum_{j=1}^{n_i} B_j(W_j, a_1) \leq \sum_{j=1}^{n_i} B_j(W_j, a_2)$ ならば行動 a_1 ,
- ii) $\sum_{j=1}^{n_i} B_j(W_j, a_1) > \sum_{j=1}^{n_i} B_j(W_j, a_2)$ ならば行動 a_2 とする。

行動 a_2 をとった場合は、青を延長し、さらに t_i の間の各アプローチに到着する車の台数を観測し、 $B_i(W'_i, a_k) = \int_0^\infty w'_i(v_i | z'_i, t') W'_i(v_i, a_k) dv_i$ を計算する。 $\sum_{j=1}^{n_i} B_j(W'_j, a_1) \leq \sum_{j=1}^{n_i} B_j(W'_j, a_2)$ となるまで青を延長するイテレーションを繰り返す。 $\sum_{j=1}^{n_i} B_j(W'_j, a_1) < \sum_{j=1}^{n_i} B_j(W'_j, a_2)$ となれば青を打切り、信号を切換える。

5. 地点感応式信号機の制御手法の比較

神戸市六甲口交差点の到着交通の観測データを入力として、計算機内シミュレーションにより、制御手法の比較を行った。制御手法には、観測するパラメータや付加する制御論理の組み合せによって各種のものが考えられるが、次の(A)～(E)5種類について比較を行った。付加する制御論理として、1) 時時判断、2) ANDの論理、3) リコールスイッチON、4) リコールスイッチOFF、5) 逆リコールスイッチOFF、を用い

- (A) 交通密度をパラメータとして、1) 2) 3) の制御論理の組み合せ
- (B) 交通密度をパラメータとして、1) 2) 4) 5) の制御論理の組み合せ
- (C) タイムオキュパンシーをパラメータとして、1) 2) 3) の制御論理の組み合せ
- (D) 決定論理によるもので、赤時間の与え方を①とした場合
- (E) 決定論理によるもので、赤時間の与え方を②とした場合

表1 各制御論理のシミュレーション結果

②と①の場合

結果は表1に示す。

表1では、(E)が交差点全体の遅れが最小となっている。(か1) (A) (B) (C) で、1レード長、基準値、上限の値が最適ではないことも考えられ、これだけでは、(E)が最適制御論理であるとは必ずしも断定はできない。

制御論理	平均周期	平均 遅れ				
		全アプローチ	東行	南行	西行	北行
(A)	36.14	8.73	9.22	8.55	8.06	9.44
(B)	55.08	8.24	7.16	10.41	7.64	11.91
(C)	38.75	8.98	8.26	8.08	8.77	12.91
(D)	42.25	8.26	7.50	9.07	7.69	11.99
(E)	42.25	8.15	7.67	9.73	7.25	11.33

6. むすび

統計的決定論理を地点感応制御に応用することを試みた。しかし、現段階ではなお、十分ではなく、さらに改良、検討すべき点が多くあると考えられる。